

Παροράματα ΚΑΝ.ΕΠΕ. 2017

- Σχέση υπολογισμού τέμνουσας $V_{R,c}$.

Στο Κεφ. 7, παρ. 7.2.2 Παραμόρφωση διαρροής στοιχείου, η σχέση 3 (Σ.3)

από,

$$V_{R,c} = \max \left[180(100\rho_{tot})^{1/3}, 35\sqrt{1 + \sqrt{\frac{0.2}{d}} f_c^{1/6}} \right] \left[\left(1 + \sqrt{\frac{0.2}{d}}\right) f_c^{1/3} + 0.15 \frac{N}{A_c} \right]$$

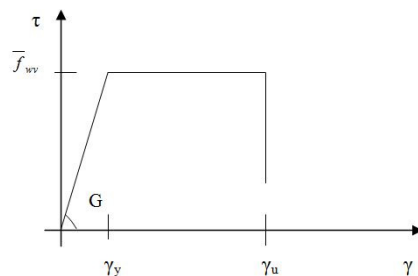
διορθώνεται σε,

$$V_{R,c} = \left\{ \max \left[180(100\rho_L)^{1/3}, 35\sqrt{1 + \sqrt{\frac{0.2}{d}} f_c^{1/6}} \right] \left[\left(1 + \sqrt{\frac{0.2}{d}}\right) f_c^{1/3} + 0.15 \sigma_c \right] \right\} b_w d$$

όπου, b_w το πλάτος της διατομής, ρ_L το ποσοστό του διαμήκους εφελκόμενου οπλισμού και

$$\sigma_c = \frac{N}{A_c} \leq 0,2 f_c$$

- Στον τύπο υπολογισμού της “Τέμνουσας διάσπαρτης αστοχίας κορμού”
 V_{R3} Κεφ. 8, παρ. 8.5.4 στ (Σ8.20) ο δεύτερος προσθετός $\lambda \cdot f_{yd}$ διορθώνεται σε $\lambda \cdot \rho \cdot f_{yd}$
- Κεφ.7, σχόλια παρ. 7.4.1 ζ.1)



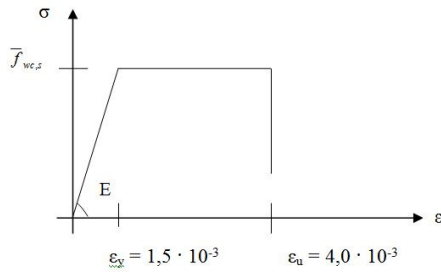
Διάγραμμα διαμηθικών τάσεων-γωνιακών παραμορφώσεων άοπλης τοιχοπλήρωσης,

$$\text{με } \gamma_y \approx \left(\frac{l}{h} + \frac{h}{l} \right) \cdot 1,5 \cdot 10^{-3} \text{ και}$$

$$\gamma_u \approx \left(\frac{l}{h} + \frac{h}{l} \right) \cdot 4,0 \cdot 10^{-3}.$$

~~Η επιλογή των τιμών γ_y και γ_u οφείλει να γίνεται κατ' αντιστοιχία προς τις αναγραφόμενες περιοχές τιμών, δηλ. για μικρές γ_y ισχύουν και μικρές γ_u κ.ο.κ.~~

- Κεφ.7, σχόλια παρ. 7.4.1 ζ.2)



Διάγραμμα τάσεων – παραμορφώσεων ισοδύναμης θλιβόμενης διαγώνιας ράβδου άοπλης τοιχοπλήρωσης.
 Η επιλογή των τιμών ϵ_y και ϵ_u οφείλει να γίνεται κατ' αντιστοιχία προς τις αναγραφόμενες περιοχές τιμών, δηλ. για μικρές ϵ_y ισχύουν και μικρές ϵ_u κ.ο.κ.

- Κεφ.6, παρ. 6.1.2.2, στη σχέση (6.8) διορθώνεται η επεξήγηση της f_{cd} ως εξής:
 f_{cd} : η τιμή σχεδιασμού της θλιπτικής αντοχής του ασθενέστερου σκυροδέματος.